

大阪市立大学 正員 倉田 宗 章
 大阪工業大学 正員 岡村 宏 一
 大阪市立大学 正員 ○谷 平 免

1. まえがき； コンクリートスラブ型式の構造物、例えば、フロアスラブ、スラブ橋等に、プレストレスを与えることは、PC桁の場合と同様、多くの利点を持っているが、本論文は、繊張鋼棒により、プレストレスを加えられた平板について、厳密な解析を試みたものである。一般的な平板と同様、板の曲げ作用に関する式と、シャイベル作用に関する式に分割して考へることができるが、プレストレス力は、板の曲げに対する荷重項に付加されるような形でいってくる。シャイベル作用に対しては、ケーブルとシース間のまわりを考慮する場合には、それは、body forceと同じようなものとして算入される。あとは、板の曲げ、シャイベルのどちらについても、プレストレス力を加味した境界条件より解くことが出来る。我々は実際構造としてよく現われる、スラブ橋に応用するため、縦縛め横縛めを有し、相対自由辺を持つ連続PC板の解析を行つた。

2. PC板の基礎方程式

2-1. 板の曲げ作用； PC板の微小要素のつり合を考へる。ケーブルが板内に定着されて、一般にまきのある場合まで考へると、繊張板によって板の要素が受けける力は、図-1のように考へることが出来る。

y 方向についても同様である。これが、一般的の板の断面力のつり合（図-2）に付加されることになる。

a) 鉛直方向のつり合より

$$\frac{\partial Q_x}{\partial x} + \frac{\partial Q_y}{\partial y} + g + P_x \cos \theta_x \frac{\partial \theta_x}{\partial x} + \sin \theta_x \frac{\partial P_x}{\partial x} + P_y \cos \theta_y \frac{\partial \theta_y}{\partial y} + \sin \theta_y \frac{\partial P_y}{\partial y} = 0 \quad \dots (1)$$

b) y 軸まわりのモーメントのつり合より

$$\frac{\partial M_x}{\partial x} + \frac{\partial M_{yx}}{\partial y} - Q_x - P_x h_x \sin \theta_x \frac{\partial \theta_x}{\partial x} - P_x \sin \theta_x + P_y \cos \theta_x \frac{\partial h_x}{\partial x} + h_x \cos \theta_x \frac{\partial P_x}{\partial x} = 0 \quad \dots (2)$$

c) x 軸まわりのモーメントのつり合より

$$\frac{\partial M_y}{\partial y} - \frac{\partial M_{xy}}{\partial x} - Q_y - P_y h_y \sin \theta_y \frac{\partial \theta_y}{\partial y} - P_y \sin \theta_y + P_x \cos \theta_y \frac{\partial h_y}{\partial y} + h_y \cos \theta_y \frac{\partial P_y}{\partial y} = 0 \quad \dots (3)$$

に、板の曲げに関する方程式が得られる。

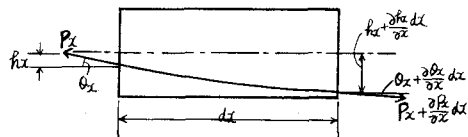


図-1

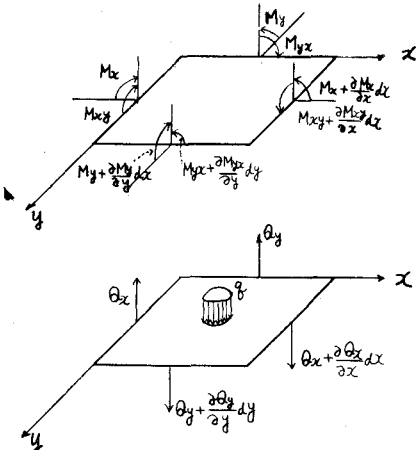


図-2

以上の3式より Q_x, Q_y を消去すると次のよう

$$\frac{\partial^2 M_x}{\partial x^2} + \frac{\partial^2 M_y}{\partial y^2} - 2 \frac{\partial M_{xy}}{\partial xy} = -g(x, y) - \vec{P}(x, y) \quad \dots (4)$$

ここで重(x, y)は、プレストレス力に関する付加項で

$$\begin{aligned} \text{重}(x, y) = & \frac{\partial}{\partial x} \left[-P_x h_x \sin \theta_x \frac{\partial \theta_x}{\partial x} - P_z \sin \theta_x + P_x \cos \theta_x \frac{\partial P_x}{\partial x} + h_x \cos \theta_x \frac{\partial \theta_x}{\partial x} \right] + \frac{\partial}{\partial y} \left[-P_y h_y \sin \theta_y \frac{\partial \theta_y}{\partial y} - P_z \sin \theta_y \right. \\ & \left. + P_y \cos \theta_y \frac{\partial \theta_y}{\partial y} + h_y \cos \theta_y \frac{\partial P_y}{\partial y} \right] + P_x \cos \theta_x \frac{\partial \theta_x}{\partial x} + \sin \theta_x \frac{\partial P_x}{\partial x} + P_y \cos \theta_y \frac{\partial \theta_y}{\partial y} + \sin \theta_y \frac{\partial P_y}{\partial y} \dots (5) \end{aligned}$$

である。
板厚がスパンに比べて小さいと考え、 $\sin \theta_x = \theta_x$, $\sin \theta_y = \theta_y$, $\cos \theta_x = 1$, $\cos \theta_y = 1$ とすると重(x, y)は簡単
に次のように表わせる。 $\text{重}(x, y) = \left[P_x \frac{\partial^2 h_x}{\partial x^2} + 2 \frac{\partial P_x}{\partial x} \frac{\partial h_x}{\partial x} + \frac{\partial^2 P_x}{\partial x^2} h_x \right] + \left[P_y \frac{\partial^2 h_y}{\partial y^2} + 2 \frac{\partial P_y}{\partial y} \frac{\partial h_y}{\partial y} + \frac{\partial^2 P_y}{\partial y^2} h_y \right] \dots (6)$

これより、ケーブルの形、及 P C 力を与えてやれば、重(x, y)は既知量となり、板の曲げに対する、
荷重として取扱うことが出来る。

2-2. 板のシヤイベ作用； プレスストレス力に関する
力のうち、面内力のみを、平面応力のつり合いで付
加してやればよい。

a) x 方向のつり合より

$$\frac{\partial \sigma_x}{\partial x} + \frac{\partial \tau_{xy}}{\partial y} + \frac{1}{t} \left[\cos \theta_x \frac{\partial P_x}{\partial x} - P_x \sin \theta_x \frac{\partial \theta_x}{\partial x} \right] = 0 \dots (7)$$

b) y 方向のつり合より

$$\frac{\partial \sigma_y}{\partial y} + \frac{\partial \tau_{xy}}{\partial x} + \frac{1}{t} \left[\cos \theta_y \frac{\partial P_y}{\partial y} - P_y \sin \theta_y \frac{\partial \theta_y}{\partial y} \right] = 0 \dots (8)$$

上記2式の第3項の、はじめの項はまきつ力に関する
項で、あとの方はケーブル曲率が板に与える力の
水平方向分力である。今 $\cos \theta_x = 1$, $\cos \theta_y = 1$ とし
あとの方の項を高次の微小とみなし無視すると、

$$\left. \begin{aligned} \frac{\partial \sigma_x}{\partial x} + \frac{\partial \tau_{xy}}{\partial y} + \frac{1}{t} \frac{\partial P_x}{\partial x} = 0 \\ \frac{\partial \sigma_y}{\partial y} + \frac{\partial \tau_{xy}}{\partial x} + \frac{1}{t} \frac{\partial P_y}{\partial y} = 0 \end{aligned} \right\} \dots (9)$$

t = 一定とし、次のような応力関数中を導入すると、これらは (9) 式を満たしている。

$$\frac{\partial^2 \phi}{\partial x^2} = \sigma_x + \frac{P_x}{t} + C_1, \quad \frac{\partial^2 \phi}{\partial y^2} = \sigma_y + \frac{P_y}{t} + C_2, \quad \frac{\partial^2 \phi}{\partial x \partial y} = -\tau_{xy} \dots (10)$$

C_1 , C_2 は積分常数で、境界条件より定まる。上式を平面応力問題の Compatibility の条件式に代入すると

$$\frac{\partial^4 \phi}{\partial x^4} + 2 \frac{\partial^4 \phi}{\partial x^2 \partial y^2} + \frac{\partial^4 \phi}{\partial y^4} = \frac{1}{t} \left[\left(\frac{\partial^2 P_x}{\partial y^2} + \frac{\partial^2 P_y}{\partial x^2} \right) - 2 \left(\frac{\partial^2 P_x}{\partial x^2} + \frac{\partial^2 P_y}{\partial y^2} \right) \right] \dots (11)$$

この場合も、右辺は板の曲げの式と同様、ケーブル繊張力が与えられれば、定まるものであり、板の
たわみに関する式と類似の方法で解くことができる。

3. ケーブル継結部に於ける力； 中立軸よりだけ偏心して、Pなるプレストレス力で継結された
場合、板には、 $M = Pe$, $N = P \cos \theta$, $V = P \sin \theta$ $\dots (12)$

なる力が作用する。

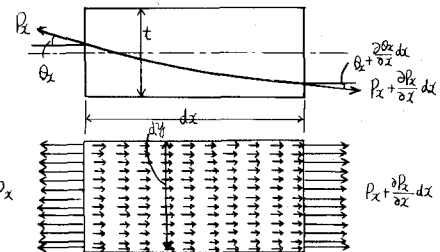


図-3

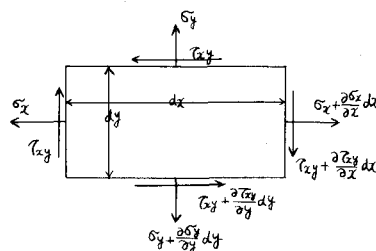


図-4

厳密には、 $V = P \sin \theta$ はケーブルが板に及ぼす力(γ)の垂直成分の和であるが、本論文では、PC 板について一般に考えられているのと同様、 γ はすべて垂直に作用し、 V をその反力を考える。

M , V を板の曲げに対する境界条件に付加し、 N をシャイバの応力の境界条件により解析すればよい。

4. 連続板への適用；連続プレストレス板への適用 例として、3 個間連続、相対 2 辺自由な板に縦横にプレストレス力が加えられるようの場合を扱った。連続板を解く方法としては、単一板の解から、板の接続部に於て、凹向分布不静定モーメントを考え、不静定モーメントの数だけの束で変形を適合させること、逆戻法により行った。

4-1. 板の曲げ；板の曲げに関する式の重(式 4) なる荷重、ケーブル結合部における(12)式の M , V なる外力の作用した板を考えればよい。本文ではケーブルシース間にまさつのない場合を取り扱う。

(a) 単一板の解； 図-6 のように座標 x , y をとる。(4)式に対する解を、 $w = w_1 + w_2$ とする。 w_1 は特解であり全周単純支持の解を用いる。 w_2 は補足解で Levy の解

$$w_2 = \sum_m \left\{ A_m \sinh dmY + B_m \cosh dmY + C_m dmy \sinh dmY + D_m dmy \cosh dmY \right\} \sin dmX \quad \dots (14)$$

より、各荷重について、 $y=0$, $y=b$, 辺での境界条件より解く。ここで $dm = \frac{m\pi}{a}$ である。

さて今、ケーブルをある程度、密に配置すれば、板に対しては分布プレストレス力と考えられる。そして一定の巾にわたってコンスタントな張力を与え、ケーブルの形を 2 次曲線に限ってしまうと、そのプレストレス力が、板に与える力としては、すべて次の 4 種類に分類することができる。

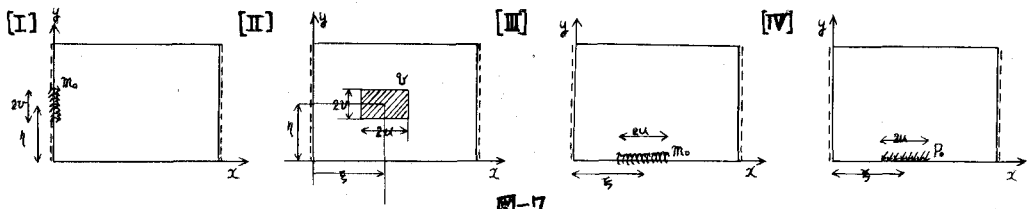


図-7

よってこの 4 種の荷重状態について、 x , y 軸に对称、逆対称な解を求めておき、それを適当に重ね合せることにより、所定のプレストレス力の作用した板の曲げの解を得ることができる。次に $x = \frac{\pi}{2}$, $y = \frac{b}{2}$ に对称な場合の解を示す。

i) 特解；

$$[I] w_1 = \frac{32m_0}{D\pi^2} \sum_{m=1,3,5, \dots}^{\infty} \sum_{n=1,3,5, \dots}^{\infty} \frac{d^2 m \sin \beta_m^2 \sin \beta_n^2}{mn(d^2 + \beta_m^2)^2} \sin dmX \sin nY \quad [II] w_1 = \frac{648}{D\pi^2} \sum_{m=1,3,5, \dots}^{\infty} \sum_{n=1,3,5, \dots}^{\infty} \frac{\sin dmY \sin dnY \sin \beta_m^2 \sin \beta_n^2}{mn(d^2 + \beta_m^2)^2} \sin dmX \sin nY$$

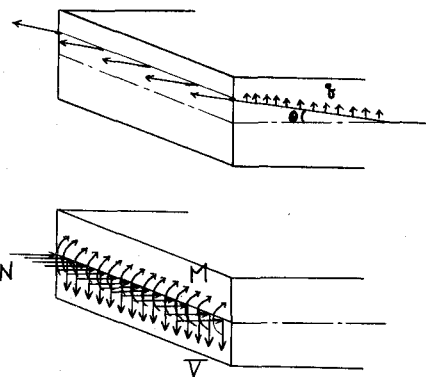


図-5

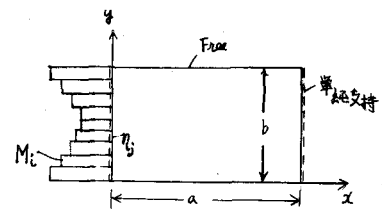


図-6

i) 補足解； [I], [II], [III] について

$$W_2 = \sum_{m,n}^{\infty} \left\{ \left[\frac{dmb}{2} \operatorname{sech}^2 \frac{dmb}{2} + \left(\frac{2}{1-\nu} - dm^2 \right) \left(\tanh \frac{dmb}{2} - 1 \right) \right] \sinh dm y + \left[\frac{2}{1-\nu} - dm^2 \tanh \frac{dmb}{2} \right] \left(\cosh dm y - \sinh dm y \right) \right\} \cdot R_1 \cdot \sin dm x$$

R_1 は

$$[I] R_1 = \frac{32M_0}{D\pi^2} \sum_{m,n}^{\infty} \frac{dm \sin \beta_m n \sin \beta_n v}{mn(d_m^2 + \beta_n^2)^2} \left[\beta_m^2 + (2-\nu)d_m^2 \right] \frac{P_m}{d_m}$$

$$[II] R_1 = \frac{64P_0}{D\pi^2} \sum_{m,n}^{\infty} \frac{\sin dm x \sin \beta_m n \sin \beta_n v}{mn(d_m^2 + \beta_n^2)^2} \left[\beta_m^2 + (2-\nu)d_m^2 \right] \frac{P_m}{d_m} \quad [III] R_1 = \frac{8P_0}{D\pi} \cdot \frac{\sin dm x \sin dm u}{mdm}$$

[IV] については

$$W_2 = \sum_{m,n}^{\infty} \left\{ \left[\frac{dmb}{2} \coth^2 \frac{dmb}{2} + \left(\frac{1+\nu}{1-\nu} + dm^2 \right) \left(1 - \coth \frac{dmb}{2} \right) \right] \sinh dm y + \left[\frac{dmb}{2} \coth^2 \frac{dmb}{2} - \frac{(1+\nu)}{(1-\nu)} \coth \frac{dmb}{2} + dm^2 \right] \left(\cosh dm y - \sinh dm y \right) \right\} \cdot R_3 \cdot \sin dm x$$

$$\text{ここで } R_3 = -\frac{4M_0}{D\pi} \frac{\sin dm x \sin dm u}{mdm}$$

式中の ν はボアソン比、 $M_0 = \frac{m\pi}{6}$ 、 D は板剛度である。 $x = \frac{\pi}{2}$ について逆対称の場合は、 $\sum_{m,n}^{\infty}$ にすればよい。

b) 連続板の解； 不静定モーメントは [I] に分類される。その分布を 図-6 に示すように細かく分布された矩形分布 M_L の集合形に仮定し、それらの作用中心に選んで選択で連続条件を立てることによって解かれ。

4-2. 板のシヤイベ作用；

シヤイベ作用に対する解式
は本文では省略する。

5. 数値計算例； 右図の

ようより空間連続 PC 板に

おいて、 $D/a = 1$, $e_1/a = 1/50$, $e_2 = e_1$,

$f_1 = 2e_1$, $f_2 = e_1/2$, $f_3 = 3e_1/2$, $P_2 = P_1/2$,

$\nu = 1/6$ とし、 P_i を無次元化した量

$P_{unit} = P_i a^2/D$ で各荷重を表わすと、

$$M_1 = M_0 a/D = P_1 e_1/D = \frac{1}{50} P_{unit}$$

$$M_2 = \frac{1}{100} P_{unit}$$

$$Q_1 = \frac{g_1 a^3}{D} = -0.5 P_{unit}$$

$$Q_2 = 0.5 P_{unit}, \quad Q_3 = -\frac{2}{3} P_{unit}$$

となる。 P_2 が曲率を持たないとすると
自由辺に於ける線荷重は存在しない。

中间支持辺上の不静定モーメントを
10分割して計算した結果を 図-9 に示す。

参考のため、全周単純支持の場合を意味する特解による、不静定モーメントをその右に示す。

b. むすび； 計算例で示した支点上の不静定モーメントの分布を見ても判りように、板としての2方向性をかなり著しく現わしており、この種の PC 板構造の断面力を平板解法によって忠実に把握することの意義が見出される。更に断面各部の曲げならびにシヤイベ作用による断面力についても機会があれば提示したい。

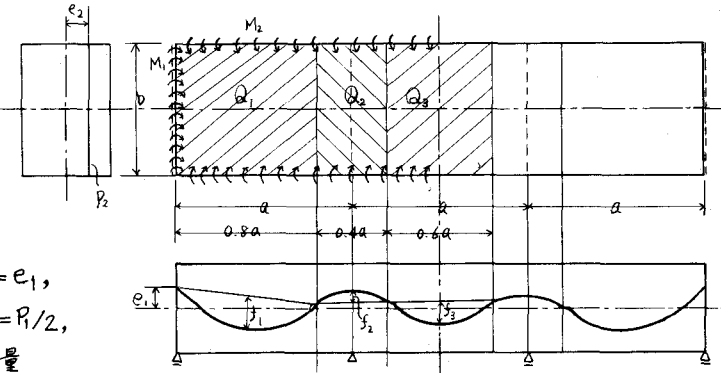


図-8

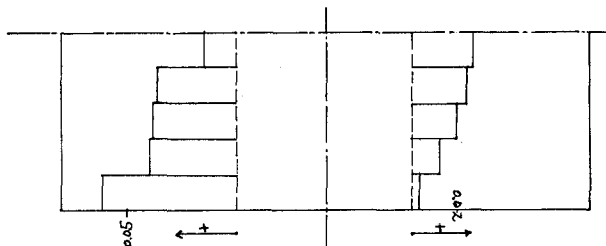


図-9